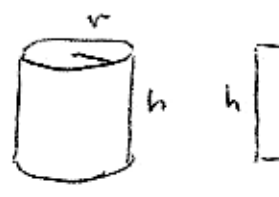


POLE POWIERZCHNI STERTY, I JED ODCINKOU

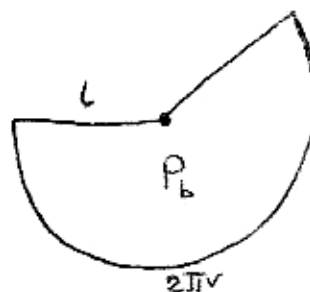
(3)

STOZKI, STOZKI SCIEZE, PIERSCENIE STOZKOWE

Powierzchnie zarysowane rozwijane na płaszczyznie:



$$P_b = 2\pi r h$$



$$\frac{P_b}{\pi l^2} = \frac{2\pi r}{2\pi l} = \frac{r}{l}$$

$$P_b = \pi l^2 \cdot \frac{r}{l} = \pi r \cdot l$$



Stożek scisty

pierścień stożkowy - powierzchnia boczna stożka scistego

tworząca - fragment tworzącej pierwotnego stożku (przed scissiem) - połowa

szerokość pierścienia stożkowego - odległość pomiędzy jego krawędziami koncentrycznymi

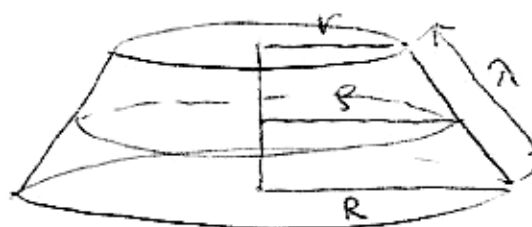


- długość obwodu tworzącej

rotacji pierścienia stożkowego - okreg zarysy w pierścieniu położony w połowie odległości od brygów

$2\pi r$

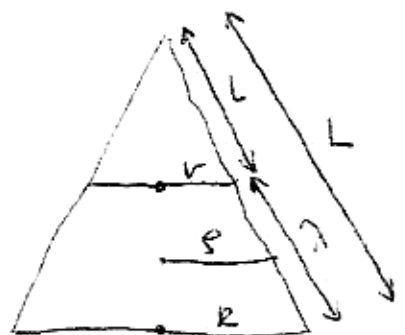
- bryg kotańskiego pierwotnej pierścienia - w połowie wysokości pierścienia podstawa dolna i góra stożka scistego



TWIERDZENIE: Pole dowolnego pierścienia stożkowego jest równe ilorazu długości jego rotacji i jego szerokości:

$$P = 2\pi r \cdot l$$

WYNIOSŁEK: Pierwiastek $\sqrt{s} = \frac{R+r}{2}$, inny wzór jest taki: $P = \pi \cdot (R+r) \cdot l$



$$g = \frac{v+r}{2} \quad \lambda = L - l$$

(4)

$$P = \pi R L - \pi r l$$

$$2\pi g \lambda = 2\pi \frac{R+v}{2} (L-l) = \pi (R+v)(L-l) = \\ = \pi R L - \underline{\pi R L} + \underline{\pi v L} - \pi v L = \pi R L - \pi v L$$

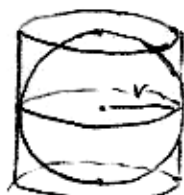
$$\text{Akw } \frac{r}{R} = \frac{l}{L} \quad \text{czyli } Rl = vL$$

$$\text{Zatem } P = 2\pi g \lambda. \quad \square$$

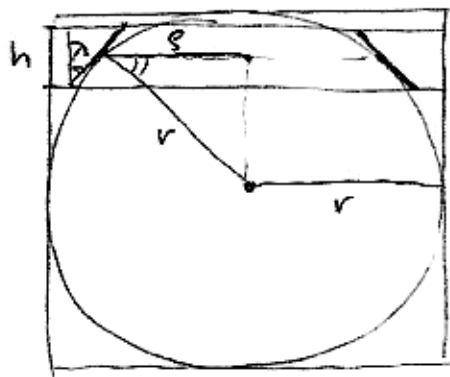
VERTE
ZASTOSOWANIA

POLE SFERY JAKO GRANICA POL POWIERZCHNI KAWAŁKAMI STÓŻKOWYMI.

TWIERDZENIE: Pole sfery jest równe polu powierzchni bocznej walca opisanej na tej sferze :



$$P = 2\pi r \cdot 2v = 4\pi r^2.$$



KONOCHEM

LEMAT: pierścieni stóżkowy stygający do sfery wzdłuż osi tworzące pole równie części powierzchni bocznej walca opisanego na tej sferze zwiększa powierzchnię o połowę tego pierścienia.

$$\text{dowód: } \frac{s}{r} = \frac{h}{\lambda} \quad \text{2 podobieństwo trójkątów czyli } g\lambda = rh$$

P_1 - pole pierścienia, P_2 - pole części walca

$$P_1 = 2\pi g \lambda = 2\pi rh = P_2. \quad \square$$

TEN SAM WZÓR OBĘMUJE TAKIE PRZYPADKI JAK



walec



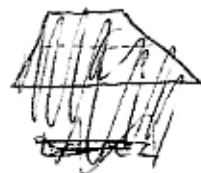
stozek



pierścień
kotwicę

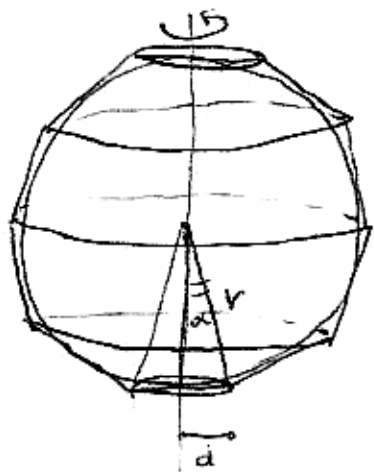


kółko



trójkątnik

Dowód twierdzenia



2n-kąt foremny ustawy na kuli o promieniu r , obrotany wokół osi przez sześcioramięgię przekształcający bawle tworzące powierzchnię sferę, koniecznie skróconą, opisaną na sferze o promieniu r .

P_{2n} - pole pow. całk. tej powierzchni

$$\alpha = \frac{1}{2} \cdot \frac{2\pi}{2n} = \frac{\pi}{2n}$$

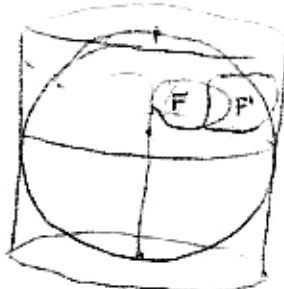
$$\begin{aligned} d &= \omega \sqrt{r^2 + r^2 \tan^2 \frac{\pi}{2n}} \\ &= r \cdot \tan \frac{\pi}{2n} \end{aligned}$$

$$\begin{aligned} P_{2n} &= P_b (\text{wale}) + 2P (\text{polstewy}) = \\ &= 4\pi r^2 + 2 \cdot \pi (r \tan \frac{\pi}{2n})^2 \end{aligned}$$

Ale $\lim_{n \rightarrow \infty} \tan \frac{\pi}{2n} = 0$, więc

$$P = \lim_{n \rightarrow \infty} P_{2n} = 4\pi r^2 + 2 \lim_{n \rightarrow \infty} \pi (r \tan \frac{\pi}{2n})^2 = 4\pi r^2. \quad \square$$

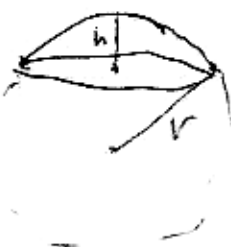
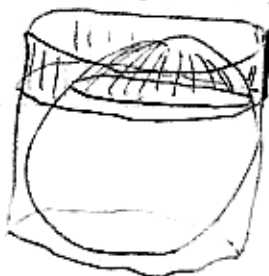
VWAGI:



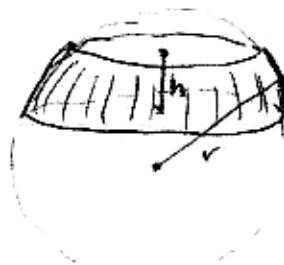
1. Odwracanie sfery ~~z wierzchnią~~ (bez biegania) na powierzchnię bawle walca, polegające na rotowaniu po poziomych promieniach biegących od osi obrótowej symetrii zachowuje pole figury

2. Konstatując z powyższej informacji (lub porównując argument przybliżenia skrócenia) możemy stwierdzić że:

Pole wycinka sfery zwartego pomiędzy dwoma poziomimi półkragiem jest równie wiele niż powierzchnia bawle opisanej na tej sferze zwartej między tymi samymi półkragiem.



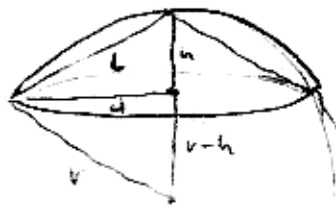
$$P = 2\pi r h$$



$$P = 2\pi r h$$

VERITÉ

3. ARCHIMEDES:



Pole czwarcia sfery jest równe polu kąta o promieniu równym tworzącej stożka opisanego w tej czwarcie.

$$\text{stąd: } d^2 + (r-h)^2 = r^2$$

$$d^2 = r^2 - (r-h)^2 = \cancel{r^2} \cdot 2rh - h^2$$

$$l^2 = d^2 + h^2 = 2rh$$

$$P_{CZ} = 2\pi rh$$

$$P_K = \pi l^2 = \pi \cdot 2rh = 2\pi rh = P_{CZ} \quad \square$$

4. Dydaktyka o postulacie Archimedesa: istotni jego metod.

POSTULAT ARCHIMEDESA (najmniej jedno obrazek):

Dla dowolnych nieskończonych kątów $B_1, C B_2$ ich pole powierzchni spełniają nierówność $P_{pow}(B_1) \leq P_{pow}(B_2)$.

Ten postulat pozwolił Archimedesowi przyznać uzasadnienie, i.e. pole powierzchni sfery nieskończoność jest granicą pól opisanych na sferze powierzchni kątowych skończonych.



$$\alpha = \frac{\pi}{2n}$$

Skala podobieństwa

$$k = \cos(\frac{\pi}{2n})$$

$$B_{2n}^W \subset K \subset B_{2n}^Z$$

$$P_{pow}(B_{2n}^W) \leq P_{pow}(K) \leq P_{pow}(B_{2n}^Z)$$

$$k^2 \stackrel{(1)}{=} P_{pow}(B_{2n}^Z)$$

$$\cos^2(\frac{\pi}{2n}) \cdot \left[4\pi r^2 + 2\pi r^2 (\tan \frac{\pi}{2n})^2 \right]$$

$$4\pi r^2 + 2\pi (r \tan \frac{\pi}{2n})^2$$

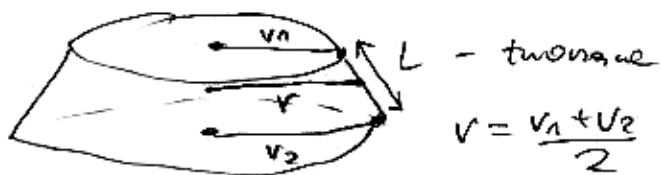
$$\downarrow$$

$$4\pi r^2$$

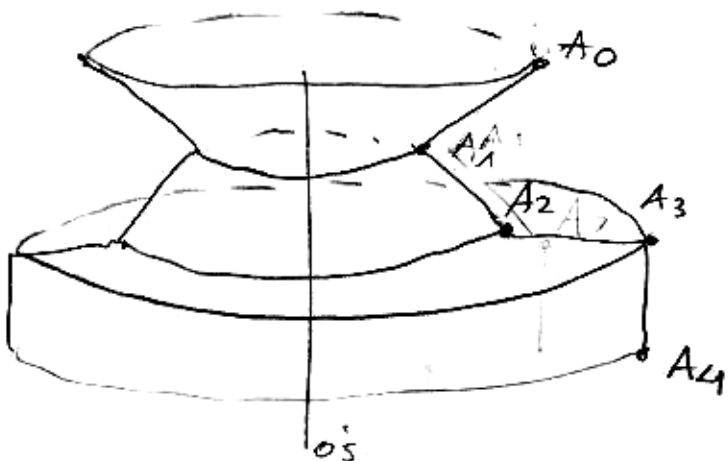
FIGURY OBROTOWE KAWALKAMI STOŁKOWYMI

pierścień stożkowy

(6)



$$P = 2\pi r L$$



Tekmene $A_0 A_1 \dots A_n$

(zobozne z n odcinków $A_{i-1} A_i$)

S_i - powierzchnia $A_{i-1} A_i$

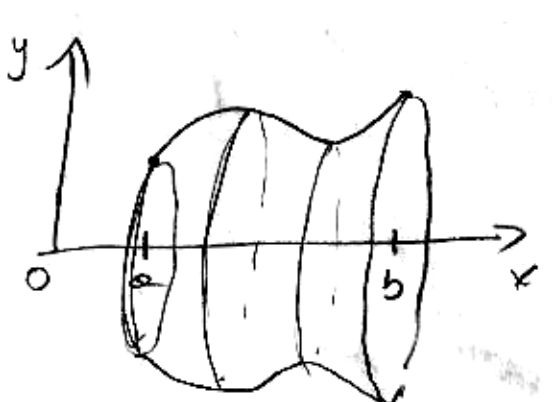
v_i - odległość S_i od osi obrotu

$d_i = (A_{i-1} A_i) / \text{długość } A_{i-1} A_i$

$$P = 2\pi (v_1 d_1 + \dots + v_n d_n)$$

OBRACANIE WŁCRESU ROTACYJNICKOWALNEGO
FUNKCJI F

$f: [a, b] \rightarrow \mathbb{R}_+$ funkcje nieujemne



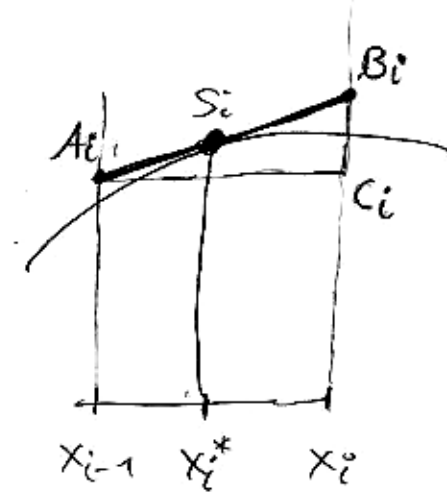
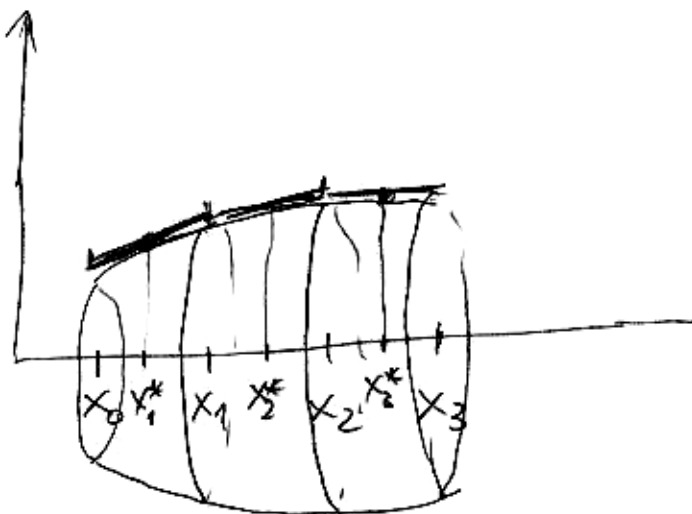
wymiar obrazany wzdłuż osi OX

otrzymując pow. skrawka $\sum f$

WZÓR CAŁKOWY NA POLE TAK OTRZYMANEJ POWIERZCHNI -
- INTUICYJNE WYPRAWDZENIE

$\sum f$ przybliżony sumą pierścieni skróconych stycznych:

$$6) \quad \text{Stosunek} \quad A_i B_i = \sqrt{\Delta x_i^2 (1 + f'(x_i^*)^2)} = \sqrt{(x_i^* - x_{i-1})^2 (1 + f'(x_i^*)^2)} = \frac{\sqrt{(x_i^* - x_{i-1})^2 (1 + f'(x_i^*)^2)}}{\sqrt{(x_i^* - x_{i-1})^2 + C_i^2}} = \frac{\sqrt{(x_i^* - x_{i-1})^2 (1 + f'(x_i^*)^2)}}{\sqrt{|A_i C_i|^2 + |C_i B_i|^2}}, \quad |A_i C_i| = x_i - x_{i-1}, \quad |B_i C_i| = \Delta x_i, \quad |f'(x_i^*)|$$



Promień $[a, b]$ dzieli na n części podstępy $[x_{i-1}, x_i]$

$$x_i^* = \frac{x_{i-1} + x_i}{2} - \text{środek podstępu } [x_{i-1}, x_i]$$

odcinki $A_i B_i$ - jak na rysunku - styczny do wykresu f
w punkcie $(x_i^*, f(x_i^*)) = S_i$

S_i - środek $A_i B_i$

P_i - pole pierścienia pośredniej podstępy z obracaniem $A_i B_i$; wółć T OX
 $r_i = f(x_i^*)$ - promień rdzenia; $d_i = |A_i B_i|$ - szerokość pierścienia - wyliczamy z Pitagorasa

$$P_i = 2\pi f(x_i^*) \cdot |A_i B_i| = 2\pi f(x_i^*) \sqrt{1 + f'(x_i^*)^2} \cdot |x_i - x_{i-1}|$$

$$= 2\pi f(x_i^*) \sqrt{1 + f'(x_i^*)^2} \Delta x_i$$

$$P_1 + \dots + P_n = 2\pi \sum_{i=1}^n f(x_i^*) \cdot \sqrt{1 + f'(x_i^*)^2} \Delta x_i$$

Gdy $n \rightarrow \infty$, $P_1 + \dots + P_n$ coraz lepiej przybliża pole pow. $\sum f$,

natomiast wyrażenie po prawej stronie w granicy daje całkę Riemanna

$$2\pi \int_a^b f(x) \sqrt{1 + f'(x)^2} dx, \quad \text{Zatem}$$

$$\boxed{P(\sum f) = 2\pi \int_a^b f(x) \sqrt{1 + f'(x)^2} dx}$$